

Geologische Anwendung der Bayes-Schätzung einer Poisson-Regression mit zufälligen Effekten

R. Vonthein,

Institut für Medizinische Biometrie und Statistik

Universität zu Lübeck

vonthein@imbs.uni-luebeck.de,

J. Reinecker,

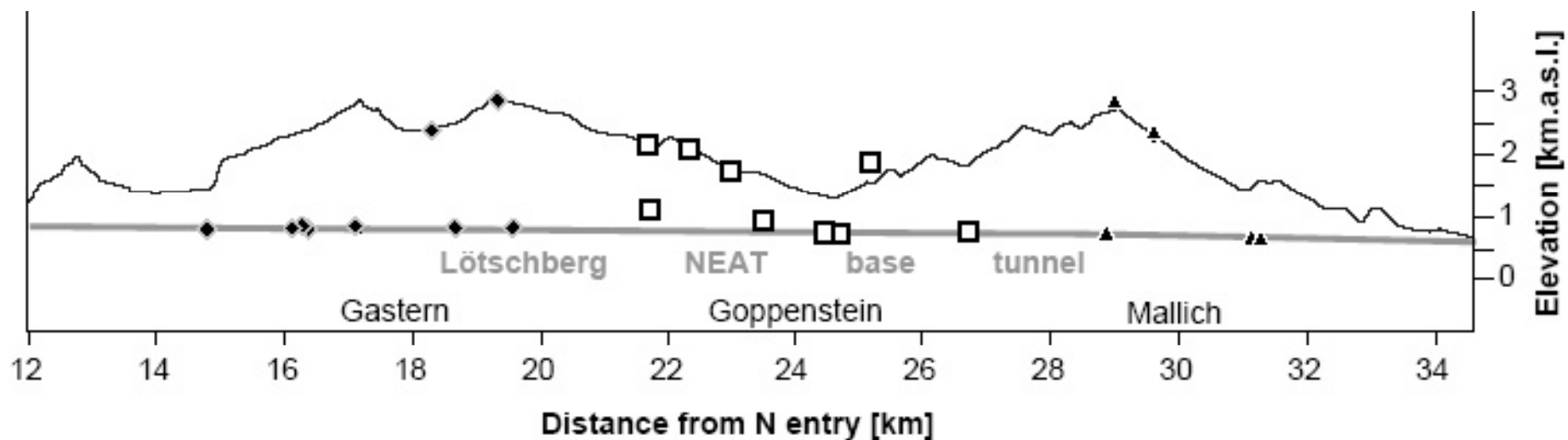
Institut für Geowissenschaften, Universität Tübingen

Aufgabe Lösung Qualität

Exhumationsrate

Das Gebirge hebt sich und wird abgetragen.

Die Freilegung wird für jeden Berg in km/Ma gemessen durch Proben (•, □, ▲) in verschiedenen Höhen (Elevation, km), deren „zentrales“ thermochronologisches Alter geschätzt wird.



Thermochronologie

Spaltspuren (*Fission Tracks*) von Uran in Apatit

[image removed]

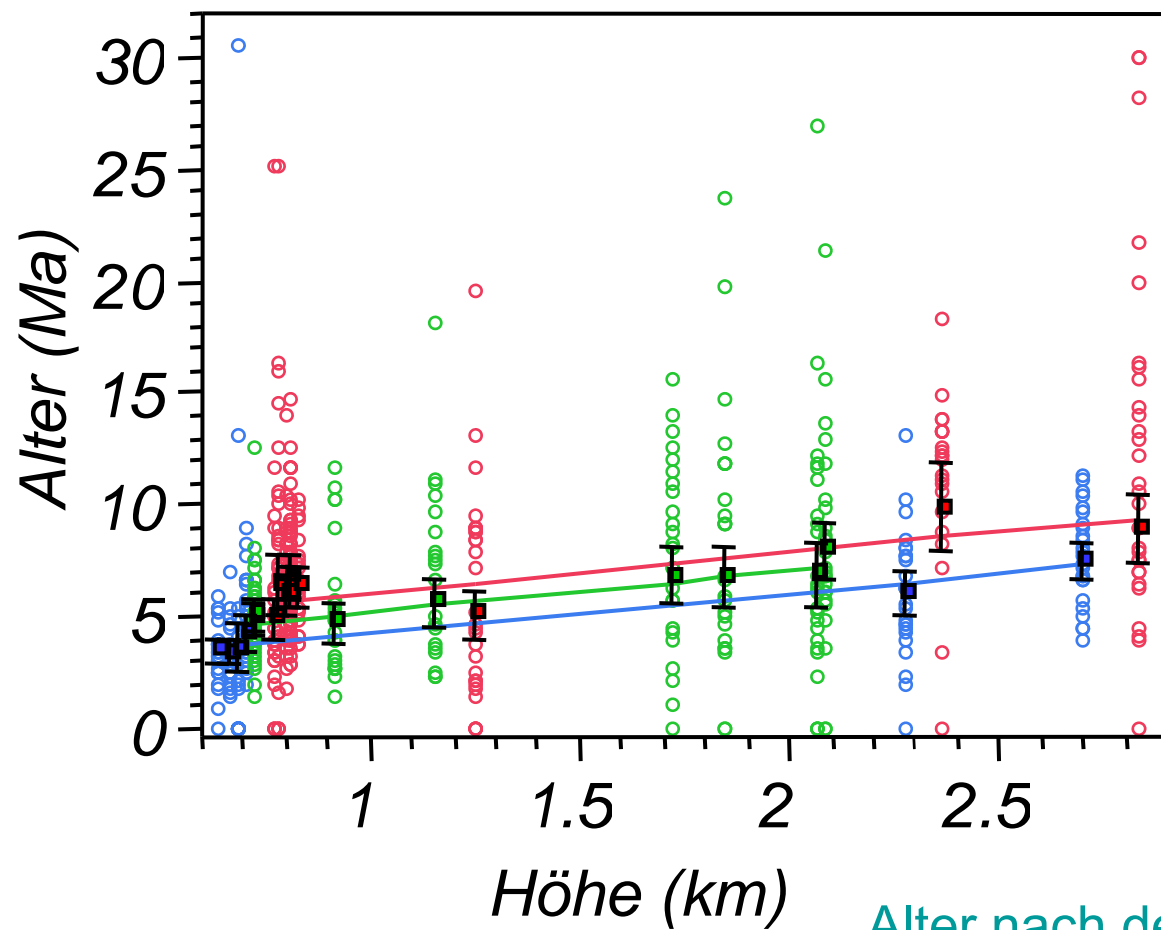
Anzahlen $N_{s_{ijk}}$ und $N_{i_{ijk}}$
spontaner und (auf Glimmer)
induzierter Spaltspuren in
Kristall i der Probe j von Stelle k
zeigen das Alter seit der letzten
Abkühlung an.[#]

* Pitman SD *Radiometric Dating Methods* © July 2001 Updating October 2008 [<http://www.detectingdesign.com/radiometricdating.html#Fission> 14.01.2009]
Galbraith, R.F. 2005. *Statistics for Fission Track Analysis*. Chapman&Hall, Boca Raton

Proben

[image removed]

Lötschberg



Alter nach der Höhe für 588 Kristalle (o)
aus 24 Proben von 3 Bergen (Farben)
eines Massivs. Schwarz: *central ages*
mit $\pm 1s$ [Galbraith and Laslett, 1993]

Zahl spontaner Spaltspuren
wie auch

Zahl induzierter Spaltspuren

$N_{S_i} \sim Po(\rho s_i)$ ist Poisson-verteilt

$i = 1, 2, 3, \dots, 588$

$N_{I_i} \sim Po(\rho i_i)$

$\rho s_i = \rho i_i \cdot q_i$ modelliere das Verhältnis der
Erwartungswerte

$\rho i_i \sim Exp(\mu)$ Vertauschbarkeit der Kristalle

$q_i \sim LN(\eta_j, \sigma^2)$ einer Probe

In der Kalibrierungsformel

Bergeffekt+lineare Abhängigkeit

dazu zufällige Effekte der Proben

$\eta_j = \ln\left(\frac{\beta_{0,k} + \beta_1 h_j}{19.2236 \cdot rd_j}\right) + b_{2,j}$ von Höhe h
innerhalb der Berge

$j = 1, 2, 3, \dots, 24, k = 1, 2, 3$

Verteilungen a priori

$b_{2,j} \sim N(0, \tau^2)$ Achsenabschnitt-Effekte

$\mu \sim Exp(200)$ Zahl induzierter Spaltspuren

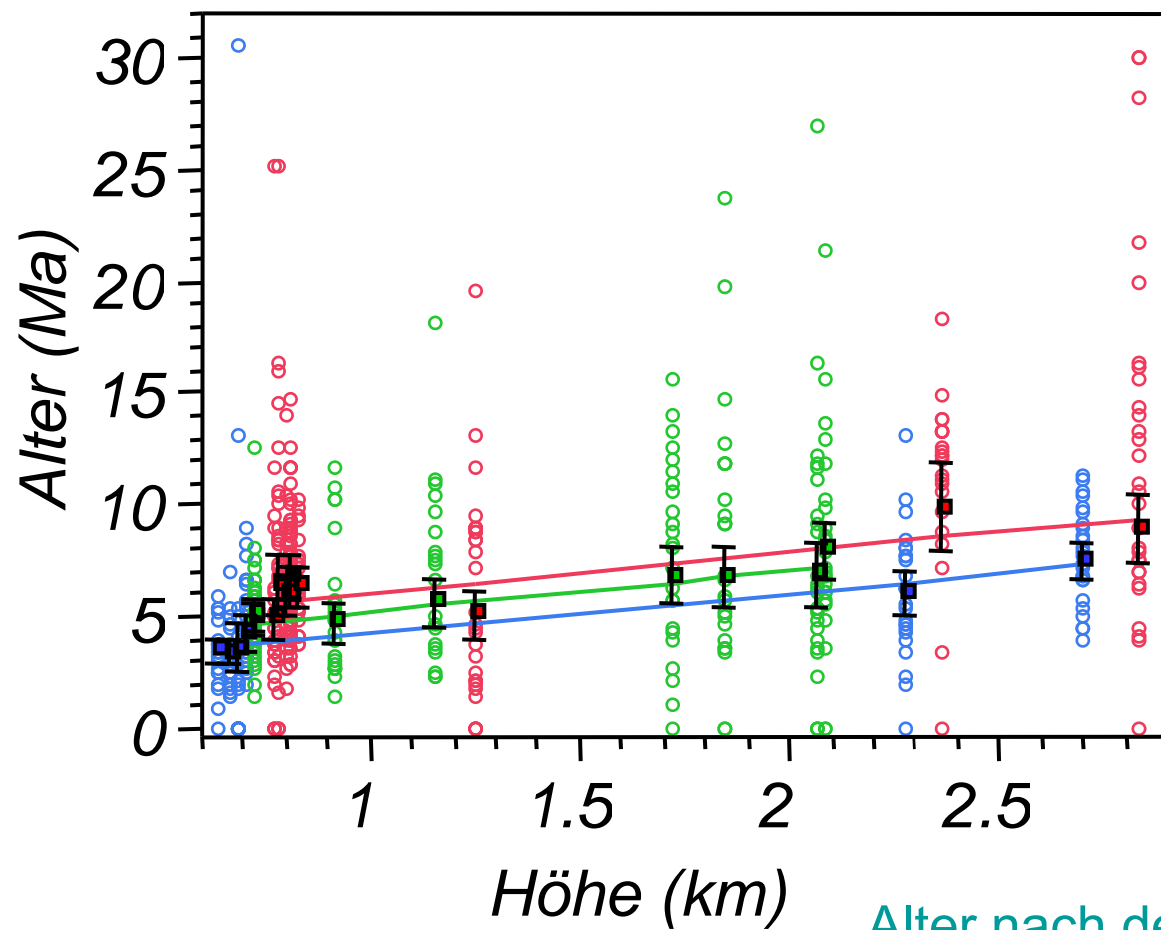
Präzision des Kristall-Alters $1/\sigma^2 \sim \Gamma(0.1, 0.1)$ „innerhalb einer Größenordnung“

Präzision des Proben-Alters $1/\tau^2 \sim \Gamma(0.1, 0.1)$ „innerhalb einer Größenordnung“

Achsenabschnitte* sind $\beta_{0,j} \sim LN(1, 1)$ ca. 3 („eine Größenordnung“)

Kehrwert d. Exhumationsrate* $\beta_1 \sim LN(\ln(1.25), 1)$ $1/0.8$ („eine Größenordnung“)

Lötschberg



Alter nach der Höhe für 588 Kristalle (o)
aus 24 Proben von 3 Bergen (Farben)
eines Massivs. Schwarz: *central ages*
mit $\pm 1s$ [Galbraith and Laslett, 1993]

Ergebnisse

Erwartungswert der Zahl induzierter Spaltspuren

$$E(\mu | \mathbf{D}) = 1/159$$

Variationskoeffizient (erste Näherung)

$$E(\sigma | \mathbf{D}) = 0.132, E(\tau | \mathbf{D}) = 0.169$$

Achsenabschnitte

$$E(\beta_{0,1} | \mathbf{D}) = 2.37, E(\beta_{0,2} | \mathbf{D}) = 3.38, E(\beta_{0,3} | \mathbf{D}) = 4.23$$

1 / Exhumationsrate

$$E(\beta_1 | \mathbf{D}) = 1.822$$

Exhumationsrate, 95%-Wahrscheinlichkeits-Interval

$$F_{1/\beta_1}^{-1}(0.5 | \mathbf{D}) = 0.552, F_{1/\beta_1}^{-1}(0.025 | \mathbf{D}) = 0.393, F_{1/\beta_1}^{-1}(0.975 | \mathbf{D}) = 0.836$$

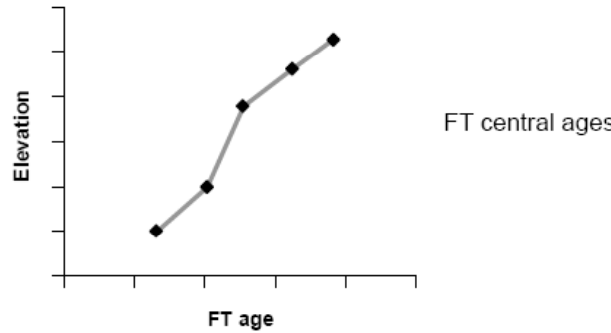
gegeben die Daten und alle anderen Parameter

$$\mathbf{D} = (\mathbf{Ns}, \mathbf{Ni})$$

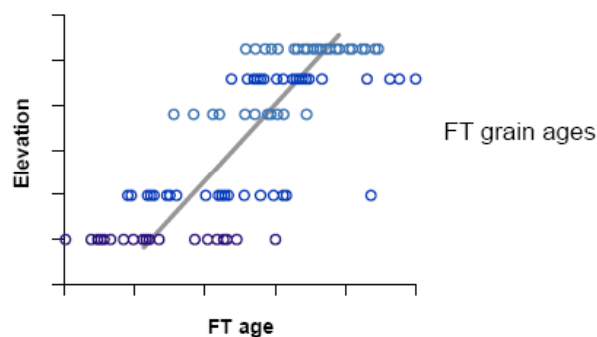
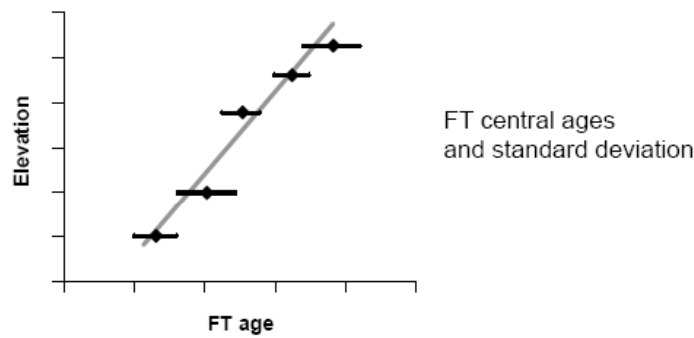
Parameterschätzung und Güte der Anpassung (DIC) für verschiedene Modelle.

Model	homoscedastic fixed effects	homoscedastic random effects	heteroscedastic fixed effects	heteroscedastic random effects
Parameter				
$1/\beta_1$	0.57 (0.48 to 0.69)	0.54 (0.33 to 0.95)	0.55 (0.45 to 0.71)	0.56 (0.37 to 0.96)
β_1	1.8	1.9	1.8	1.8
β_0	2.3, 3.5, 4.6	2.2, 3.3, 4.4	2.2, 3.4, 4.6	2.2, 3.3, 4.4
σ	0.14	0.14	0.19 to 0.70	0.19 to 0.60
τ		0.18		0.17
μ		1/159		1/159
DIC	7396	7391	7445	7449





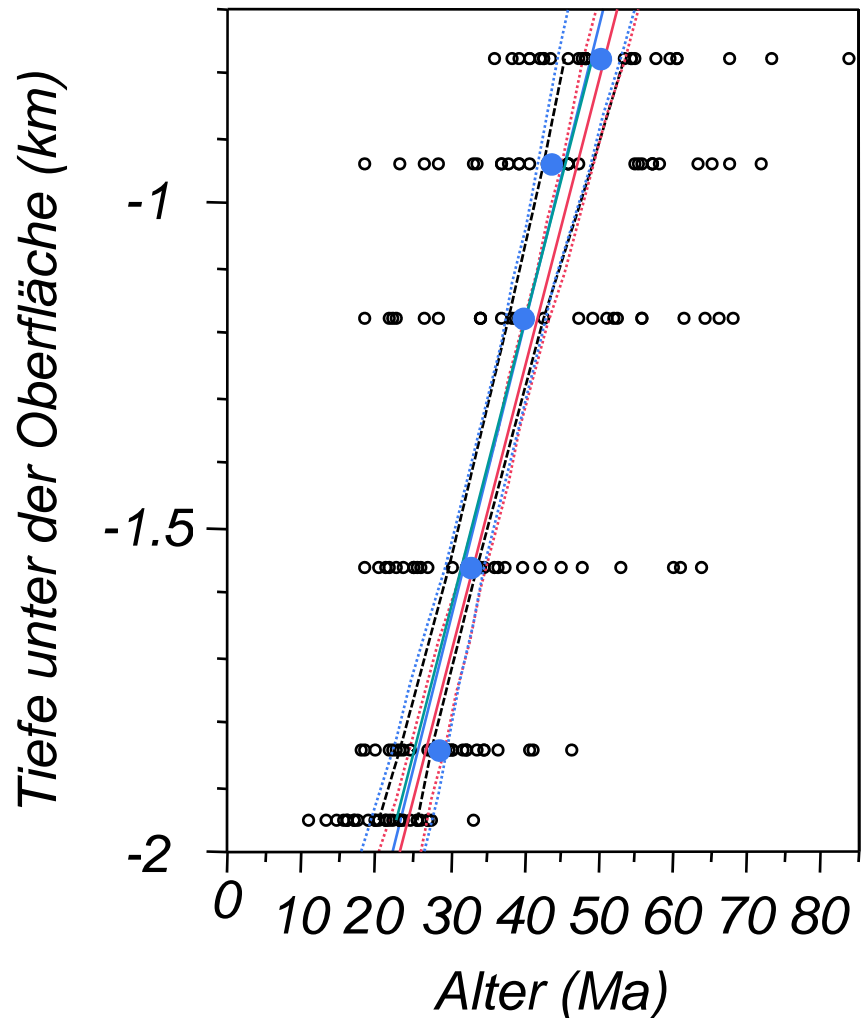
Riesengebirge



12

R. Vonthein, Lübeck 4.12.2009

Genauigkeitsvergleich



Alter nach der Tiefe unter der Oberfläche für 178 Kristalle (o) aus 6 Proben von einem Berg im Riesengebirge mit Regressionsgeraden (durchgezogen) und 95%-Konfidenzgrenzen (gestrichelt) für Punkte auf den Geraden, die an die sechs zentralen Probenalter (blaue Punkte) angepasst wurden (blau), an alle Kristalle (rot) und aus dem Poisson-Lognormal-Modell (schwarz).

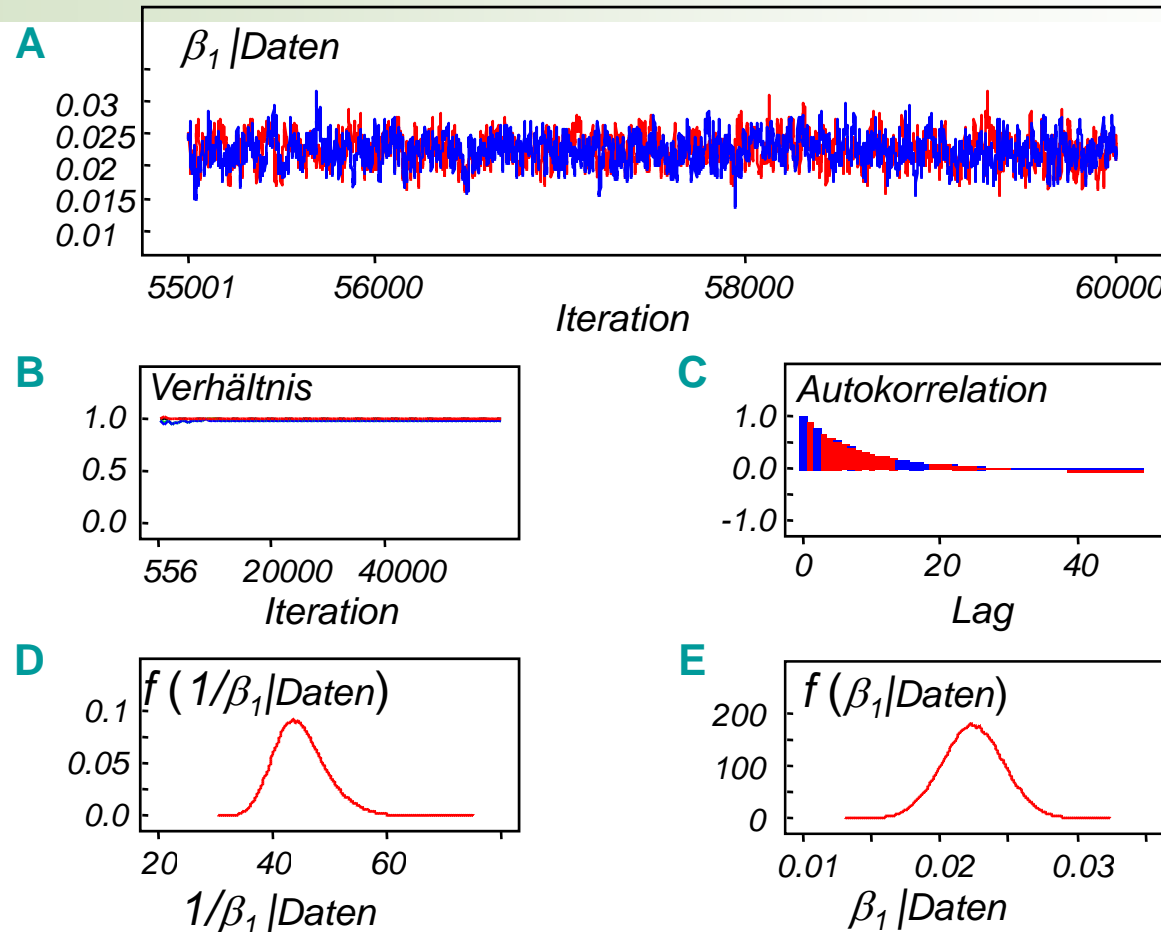


Abb.5: Konvergenz und Ergebnisse der Monte Carlo Markov Ketten bei der Schätzung der Steigung β_1 und der Exhumationsrate $1/\beta_1$ für variszische Granite aus dem Riesengebirge (Danišík, unveröffentlichte Daten). **A:** die letzten 10 000 Iterationen aus zwei Ketten zeigen *rapid mixing*. **B:** Das Gelman-Rubin Kriterium wurde nach 10 000 Iterationen *burn in* eingehalten. **C:** Die Autokorrelation generierter $1/\beta_0$ fällt ab. **D:** Die a-posteriori-Dichte von $1/\beta_0$ ist rechts-schief und glatt nach 100 000 Zügen nach *burn in*. **E:** Die a-posteriori-Dichte von β_0 ist fast symmetrisch; Einheit: m/Ma.

Methodenübersicht

Autoren	Gallagher Holmes 2005	diese Arbeit	Galbraith Goutis 1996
Daten	Spaltspuren-Zahl,-Länge	Spaltspuren-Zahl	Spaltspuren-Zahl
Ansatz	Bayesianisch	Bayesianisch	klassisch
Modell	Regression, Strukturbruch	ANCOVA	Erwartungswerte
bivariate Poisson Verteilung	$N_s \sim \text{binomial}$ gegeben N_i	lognormale zufällige Effekte Aichison Ho 1989	Mischung bivariater Poisson-Verteilungen

[image removed]

Vielen Dank
für die Diskussion!

WinBUGS

```
model { # Poisson-Lognormal model
  for(i in 1:588) { # grains
    Ns[i] ~ dpois(lambda[i,1]); Ni[i] ~ dpois(lambda[i,2]);
    lambda[i,1] <- lambda[i,2]*q[i];
    lambda[i,2] ~ dexp(0.005);
    q[i] ~ dlnorm(eta[i],isigma2);
    eta[i] <- log((b0[ort[i]] + b1*height[i])/(19.2236*rd[i]));
  }
  isigma2 ~ dgamma(0.1,0.1); sigmaw <- 1/sqrt(isigma2);
  # three sites
  b0[1] ~ dlnorm(1,1); b0[2] ~ dlnorm(1,1); b0[3] ~ dlnorm(1,1);
  b1 ~ dlnorm(0.223,1); ib1 <- 1/b1;
  for(j in 1:24) { # samples
    age[j] <- (b0[site[j]] + b1*h[j]);
  }
}
```